

Výpočty a zaokrouhlovací chyby
aneb
„Jáchyme, hod' ho do stroje“

Petr Tichý

19. března 2014

- 1 Výpočty v počítači
- 2 Numerický výpočet gradientu
- 3 Gaussova eliminace
- 4 Ortogonalizace
- 5 Metoda sdružených gradientů
- 6 Metoda bikonjugovaných gradientů

Matematický popis a výpočet v počítači

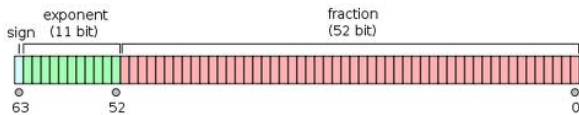
Matematika,
spojitost,
 ∞ .

\leftrightarrow

Počítač,
diskrétní hodnoty,
konečno.

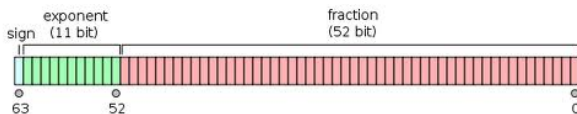
Čísla v počítači, pravidla

- **Reprezentace** čísla v počítači



Číslo v počítači, pravidla

- **Reprezentace** čísla v počítači

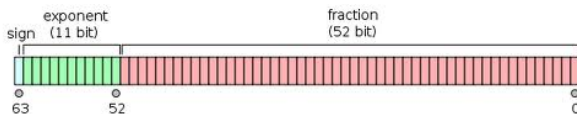


- **Standardní model konečné aritmetiky** předpokládá

$$\text{fl}(x \circ y) = (x \circ y)(1 + \epsilon), \quad |\epsilon| \leq \mathbf{u},$$

kde \circ zastupuje operace $+$, $-$, $*$, $/$ a $\text{fl}(\cdot)$ označuje, že výpočet byl proveden v konečné aritmetice počítače.

- **Reprezentace** čísla v počítači



- **Standardní model konečné aritmetiky** předpokládá

$$\text{fl}(x \circ y) = (x \circ y)(1 + \epsilon), \quad |\epsilon| \leq \mathbf{u},$$

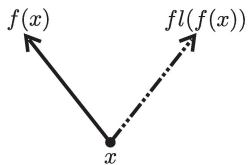
kde \circ zastupuje operace $+$, $-$, $*$, $/$ a $\text{fl}(\cdot)$ označuje, že výpočet byl proveden v konečné aritmetice počítače.

- Snaha o pochopení chování algoritmů v počítači
numerická (numerus = číslo, vyčíslení pomocí čísel)
analýza (analyzovat, pochopit, rozebrat do detailů).

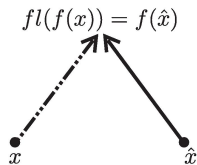
Přímá a zpětná analýza chyb

Numerická stabilita algoritmů

Přímá analýza
chyb

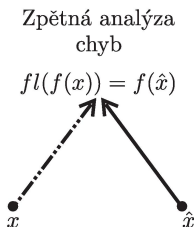
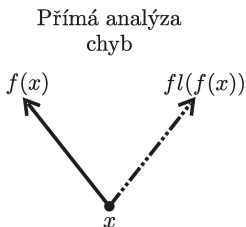


Zpětná analýza
chyb



Přímá a zpětná analýza chyb

Numerická stabilita algoritmů



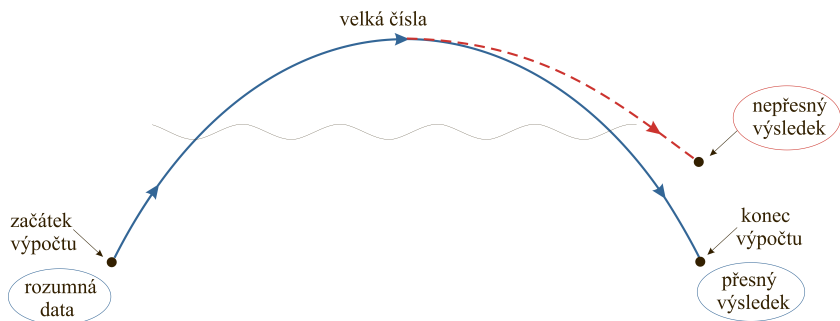
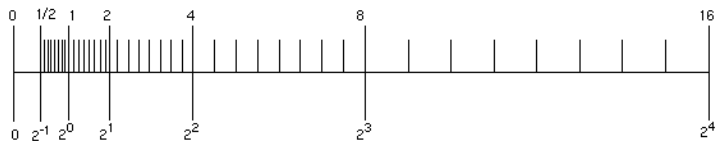
Algoritmus $f(x)$ je **zpětně stabilní**, pokud platí

$$fl(f(x)) = f(\hat{x}) \quad \text{pro nějaké } \hat{x} \text{ splňující} \quad \frac{\|x - \hat{x}\|}{\|x\|} = \mathcal{O}(\mathbf{u}),$$

Kde se ztrácí přesnost?

Příklad 1: Velká čísla

Binary Representation:



Kde se ztrácí přesnost?

Příklad 2: Odečítání dvou blízkých čísel

Výpočet

$$\frac{a - b}{c},$$

kde $a \approx b$, $|c| \approx |a - b| \rightarrow$ vyrušení cifer, **ztráta přesnosti**.

Kde se ztrácí přesnost?

Příklad 2: Odečítání dvou blízkých čísel

Výpočet

$$\frac{a - b}{c},$$

kde $a \approx b$, $|c| \approx |a - b| \rightarrow$ vyrušení cifer, **ztráta přesnosti**.

Příklad: Vyhodnocení funkce

$$f(x) \equiv \frac{1 - \cos(x)}{x^2} = \frac{1}{2} \left(\frac{\sin \frac{x}{2}}{\frac{x}{2}} \right)^2 \quad \text{v} \quad x = 1.2 * 10^{-8}.$$

Kde se ztrácí přesnost?

Příklad 2: Odečítání dvou blízkých čísel

Výpočet

$$\frac{a - b}{c},$$

kde $a \approx b$, $|c| \approx |a - b| \rightarrow$ vyrušení cifer, **ztráta přesnosti**.

Příklad: Vyhodnocení funkce

$$f(x) \equiv \frac{1 - \cos(x)}{x^2} = \frac{1}{2} \left(\frac{\sin \frac{x}{2}}{\frac{x}{2}} \right)^2 \quad \text{v} \quad x = 1.2 * 10^{-8}.$$

$$\cos(x) = 0.999999999999999928$$

$$\text{fl}(\cos(x)) = 0.999999999999999989$$

$$1 - \cos(x) = 0.7200000000000000 * 10^{-16}$$

$$\text{fl}(1 - \cos(x)) = 1.1102230246251565 * 10^{-16}$$

$$\text{fl}\left(\frac{1 - \cos(x)}{x^2}\right) = 0.77098821154524766$$

$$\text{fl}(f(x)) = 0.5.$$

- 1 Výpočty v počítači
- 2 Numerický výpočet gradientu**
- 3 Gaussova eliminace
- 4 Ortogonalizace
- 5 Metoda sdružených gradientů
- 6 Metoda bikonjugovaných gradientů

Numerický výpočet derivace (gradientu)

Nechť $|f''(x)| \leq L$ na dané oblasti, potom

$$\frac{\partial f}{\partial x_i} = \frac{f(x + h e_i) - f(x)}{h} + \delta_h, \quad |\delta_h| \leq \frac{L}{2} h.$$

Numerický výpočet derivace (gradientu)

Nechť $|f''(x)| \leq L$ na dané oblasti, potom

$$\frac{\partial f}{\partial x_i} = \frac{f(x + h e_i) - f(x)}{h} + \delta_h, \quad |\delta_h| \leq \frac{L}{2} h.$$

Platí

$$\frac{\partial f}{\partial x_i} = \frac{\text{fl}(f(x + h e_i)) - \text{fl}(f(x))}{h} + \delta_{\mathbf{u}} + \delta_h,$$

$$\begin{aligned} \delta_{\mathbf{u}} &= \frac{f(x + h e_i) - f(x)}{h} - \frac{\text{fl}(f(x + h e_i)) - \text{fl}(f(x))}{h} \\ &= \frac{1}{h} (f(x + h e_i) - \text{fl}(f(x + h e_i)) - f(x) + \text{fl}(f(x))). \end{aligned}$$

Numerický výpočet derivace (gradientu)

aneb „Kolik třešní, tolik višní“

Předpokládejme, že v konečné aritmetice

$$|\mathbb{fl}(f(y)) - f(y)| \leq \mathbf{u} \|f\|_{\infty}.$$

Numerický výpočet derivace (gradientu)

aneb „Kolik třešní, tolik višní“

Předpokládejme, že v konečné aritmetice

$$|\text{fl}(f(y)) - f(y)| \leq \mathbf{u} \|f\|_\infty.$$

Potom

$$\frac{\partial f}{\partial x_i} = \frac{\text{fl}(f(x + h e_i)) - \text{fl}(f(x))}{h} + \delta_{\mathbf{u}} + \delta_h,$$

$$|\delta_{\mathbf{u}} + \delta_h| \leq |\delta_{\mathbf{u}}| + |\delta_h| \leq \frac{2\mathbf{u} \|f\|_\infty}{h} + \frac{L\mathbf{u}}{2}.$$

Numerický výpočet derivace (gradientu)

aneb „Kolik třešní, tolik višní“

Předpokládejme, že v konečné aritmetice

$$|\text{fl}(f(y)) - f(y)| \leq \mathbf{u} \|f\|_\infty.$$

Potom

$$\frac{\partial f}{\partial x_i} = \frac{\text{fl}(f(x + h e_i)) - \text{fl}(f(x))}{h} + \delta_{\mathbf{u}} + \delta_h,$$

$$|\delta_{\mathbf{u}} + \delta_h| \leq |\delta_{\mathbf{u}}| + |\delta_h| \leq \frac{2\mathbf{u} \|f\|_\infty}{h} + \frac{L\mathbf{u}}{2}.$$

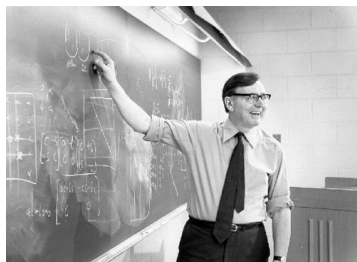
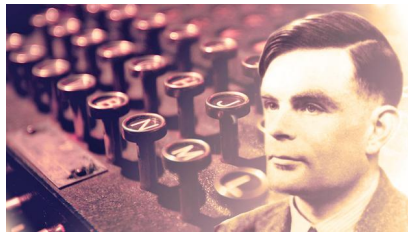
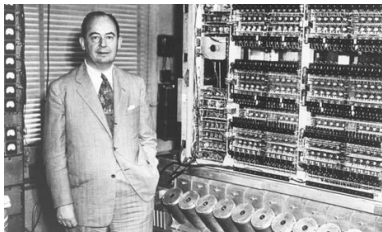
Minimalizujeme horní mez přes h ,

$$h_* = \sqrt{\mathbf{u}} \left(2\sqrt{\frac{\|f\|_\infty}{L}} \right).$$

- 1 Výpočty v počítači
- 2 Numerický výpočet gradientu
- 3 Gaussova eliminace**
- 4 Ortogonalizace
- 5 Metoda sdružených gradientů
- 6 Metoda bikonjugovaných gradientů

Numerická analýza Gaussovy eliminace

- 40 léta minulého století poprvé implementována na počítači,
- John von Neumann, Alan Turing, James H. Wilkinson.



Gaussova eliminace může dávat nepřesné výsledky

„Politováníhodné nedopatření, ke kterému docházím maximálně .. × za 10 let“

- Velikost prvků může při eliminaci růst

$$\left[\begin{array}{ccccc|c} 1 & 0 & 0 & 0 & 1 & \bullet \\ -1 & 1 & 0 & 0 & 1 & \bullet \\ -1 & -1 & 1 & 0 & 1 & \bullet \\ -1 & -1 & -1 & 1 & 1 & \bullet \\ -1 & -1 & -1 & -1 & 1 & \bullet \end{array} \right] .$$

Gaussova eliminace může dávat nepřesné výsledky

„Politováníhodné nedopatření, ke kterému docházím maximálně .. × za 10 let“

- Velikost prvků může při eliminaci růst

$$\left[\begin{array}{ccccc|c} 1 & 0 & 0 & 0 & 1 & \bullet \\ 0 & 1 & 0 & 0 & 2 & \bullet \\ -1 & -1 & 1 & 0 & 1 & \bullet \\ -1 & -1 & -1 & 1 & 1 & \bullet \\ -1 & -1 & -1 & -1 & 1 & \bullet \end{array} \right] .$$

Gaussova eliminace může dávat nepřesné výsledky

„Politováníhodné nedopatření, ke kterému docházím maximálně .. × za 10 let“

- Velikost prvků může při eliminaci růst

$$\left[\begin{array}{cccc|c} 1 & 0 & 0 & 0 & 1 \\ 0 & 1 & 0 & 0 & 2 \\ 0 & -1 & 1 & 0 & 2 \\ -1 & -1 & -1 & 1 & 1 \\ -1 & -1 & -1 & -1 & 1 \end{array} \right] \begin{array}{l} \bullet \\ \bullet \\ \bullet \\ \bullet \\ \bullet \end{array} .$$

Gaussova eliminace může dávat nepřesné výsledky

„Politováníhodné nedopatření, ke kterému docházím maximálně .. × za 10 let“

- Velikost prvků může při eliminaci růst

$$\left[\begin{array}{cccc|c} 1 & 0 & 0 & 0 & 1 \\ 0 & 1 & 0 & 0 & 2 \\ 0 & -1 & 1 & 0 & 2 \\ 0 & -1 & -1 & 1 & 2 \\ -1 & -1 & -1 & -1 & 1 \end{array} \right] \begin{array}{l} \bullet \\ \bullet \\ \bullet \\ \bullet \\ \bullet \end{array} .$$

Gaussova eliminace může dávat nepřesné výsledky

„Politováníhodné nedopatření, ke kterému docházím maximálně .. × za 10 let“

- Velikost prvků může při eliminaci růst

$$\left[\begin{array}{cccc|c} 1 & 0 & 0 & 0 & 1 \\ 0 & 1 & 0 & 0 & 2 \\ 0 & -1 & 1 & 0 & 2 \\ 0 & -1 & -1 & 1 & 2 \\ 0 & -1 & -1 & -1 & 2 \end{array} \right] \begin{array}{l} \bullet \\ \bullet \\ \bullet \\ \bullet \\ \bullet \end{array} .$$

Gaussova eliminace může dávat nepřesné výsledky

„Politováníhodné nedopatření, ke kterému docházím maximálně .. × za 10 let“

- Velikost prvků může při eliminaci růst

$$\left[\begin{array}{cccc|c} 1 & 0 & 0 & 0 & 1 & \bullet \\ 0 & 1 & 0 & 0 & 2 & \bullet \\ 0 & 0 & 1 & 0 & 4 & \bullet \\ 0 & -1 & -1 & 1 & 2 & \bullet \\ 0 & -1 & -1 & -1 & 2 & \bullet \end{array} \right] .$$

Gaussova eliminace může dávat nepřesné výsledky

„Politováníhodné nedopatření, ke kterému docházím maximálně .. × za 10 let“

- Velikost prvků může při eliminaci růst

$$\left[\begin{array}{cccc|c} 1 & 0 & 0 & 0 & 1 \\ 0 & 1 & 0 & 0 & 2 \\ 0 & 0 & 1 & 0 & 4 \\ 0 & 0 & -1 & 1 & 4 \\ 0 & -1 & -1 & -1 & 2 \end{array} \right] \bullet$$

Gaussova eliminace může dávat nepřesné výsledky

„Politováníhodné nedopatření, ke kterému docházím maximálně .. × za 10 let“

- Velikost prvků může při eliminaci růst

$$\left[\begin{array}{cccc|c} 1 & 0 & 0 & 0 & 1 \\ 0 & 1 & 0 & 0 & 2 \\ 0 & 0 & 1 & 0 & 4 \\ 0 & 0 & -1 & 1 & 4 \\ 0 & 0 & -1 & -1 & 4 \end{array} \right] \begin{array}{l} \bullet \\ \bullet \\ \bullet \\ \bullet \\ \bullet \end{array} .$$

Gaussova eliminace může dávat nepřesné výsledky

„Politováníhodné nedopatření, ke kterému docházím maximálně .. × za 10 let“

- Velikost prvků může při eliminaci růst

$$\left[\begin{array}{cccc|c} 1 & 0 & 0 & 0 & 1 \\ 0 & 1 & 0 & 0 & 2 \\ 0 & 0 & 1 & 0 & 4 \\ 0 & 0 & 0 & 1 & 8 \\ 0 & 0 & -1 & -1 & 4 \end{array} \right] \bullet$$

Gaussova eliminace může dávat nepřesné výsledky

„Politováníhodné nedopatření, ke kterému docházím maximálně .. × za 10 let“

- Velikost prvků může při eliminaci růst

$$\left[\begin{array}{cccc|c} 1 & 0 & 0 & 0 & 1 & \bullet \\ 0 & 1 & 0 & 0 & 2 & \bullet \\ 0 & 0 & 1 & 0 & 4 & \bullet \\ 0 & 0 & 0 & 1 & 8 & \bullet \\ 0 & 0 & 0 & -1 & 8 & \bullet \end{array} \right].$$

Gaussova eliminace může dávat nepřesné výsledky

„Politováníhodné nedopatření, ke kterému docházím maximálně .. × za 10 let“

- Velikost prvků může při eliminaci růst

$$\left[\begin{array}{ccccc|c} 1 & 0 & 0 & 0 & 1 & \bullet \\ 0 & 1 & 0 & 0 & 2 & \bullet \\ 0 & 0 & 1 & 0 & 4 & \bullet \\ 0 & 0 & 0 & 1 & 8 & \bullet \\ 0 & 0 & 0 & 0 & 16 & \bullet \end{array} \right] .$$

- n rovnic o n neznámých \rightarrow velikost prvku je

$$2^{n-1}.$$

Při **praktických výpočtech** dochází k velkému růstu velikosti prvků **řídka**, nutné ale kontrolovat během výpočtu.

Příklad řešený na počítači, 56 neznámých

Zvolme hodnoty proměnných (řešení), například

$$[1, -1, 1, \dots, -1, 1, -1]$$

a **dopočtěme** pravou stranu

$$[0, -3, 0, -3, \dots, 0, -3, 0, -2].$$

Řešíme soustavu tvaru

$$\left[\begin{array}{cccccc|c} 1 & 0 & 0 & 0 & 0 & 1 & 0 \\ -1 & 1 & 0 & 0 & 0 & 1 & -3 \\ -1 & -1 & 1 & 0 & 0 & 1 & 0 \\ -1 & -1 & -1 & 1 & 0 & 1 & -3 \\ -1 & -1 & -1 & -1 & 1 & 1 & 0 \\ -1 & -1 & -1 & -1 & -1 & 1 & -2 \end{array} \right],$$

ale pro 56 neznámých.

Příklad řešení na počítači, 56 neznámých

Zvolme hodnoty proměnných (řešení), například

$$[1, -1, 1, \dots, -1, 1, -1]$$

a **dopočtíme** pravou stranu

$$[0, -3, 0, -3, \dots, 0, -3, 0, -2].$$

Řešíme soustavu tvaru

$$\left[\begin{array}{cccccc|c} 1 & 0 & 0 & 0 & 0 & 1 & 0 \\ -1 & 1 & 0 & 0 & 0 & 1 & -3 \\ -1 & -1 & 1 & 0 & 0 & 1 & 0 \\ -1 & -1 & -1 & 1 & 0 & 1 & -3 \\ -1 & -1 & -1 & -1 & 1 & 1 & 0 \\ -1 & -1 & -1 & -1 & -1 & 1 & -2 \end{array} \right],$$

ale pro 56 neznámých. Počítač spočte **nepřesné řešení**

$$[1, -1, 1, \dots, -1, 1, -1, 1, \mathbf{0}, \mathbf{2}, -1].$$

- 1 Výpočty v počítači
- 2 Numerický výpočet gradientu
- 3 Gaussova eliminace
- 4 Ortogonalizace**
- 5 Metoda sdružených gradientů
- 6 Metoda bikonjugovaných gradientů

Gram-Schmidtův proces

- Dána báze $\{a_1, \dots, a_m\}$ podprostoru \mathbb{C}^n , $n > m$.

Gram-Schmidtův ortogonalizační proces spočte ortonormální bázi $\{q_1, \dots, q_m\}$ takovou, že

$$\text{span}\{a_1, \dots, a_k\} = \text{span}\{q_1, \dots, q_k\}, \quad k = 1, \dots, m.$$

Gram-Schmidtův proces

- Dána báze $\{a_1, \dots, a_m\}$ podprostoru \mathbb{C}^n , $n > m$.

Gram-Schmidtův ortogonalizační proces spočte ortonormální bázi $\{q_1, \dots, q_m\}$ takovou, že

$$\text{span}\{a_1, \dots, a_k\} = \text{span}\{q_1, \dots, q_k\}, \quad k = 1, \dots, m.$$

- odečteme od a_k jeho projekci na prostor generovaný sloupci $[q_1, \dots, q_{k-1}] = Q_{k-1}$

$$z = (I - Q_{k-1}Q_{k-1}^*)a_k,$$

ekvivalentně,

$$z = (I - q_{k-1}q_{k-1}^*) \dots (I - q_2q_2^*)(I - q_1q_1^*)a_k,$$

a normalizujeme

$$q_k = z/\|z\|.$$

Gram-Schmidtův proces

- Dána báze $\{a_1, \dots, a_m\}$ podprostoru \mathbb{C}^n , $n > m$.

Gram-Schmidtův ortogonalizační proces spočte ortonormální bázi $\{q_1, \dots, q_m\}$ takovou, že

$$\text{span}\{a_1, \dots, a_k\} = \text{span}\{q_1, \dots, q_k\}, \quad k = 1, \dots, m.$$

- odečteme od a_k jeho projekci na prostor generovaný sloupci $[q_1, \dots, q_{k-1}] = Q_{k-1}$

$$z = (I - Q_{k-1}Q_{k-1}^*)a_k,$$

ekvivalentně,

$$z = (I - q_{k-1}q_{k-1}^*) \dots (I - q_2q_2^*)(I - q_1q_1^*)a_k,$$

a normalizujeme

$$q_k = z/\|z\|.$$

- Vede na **klasický** a **modifikovaný Gram-Schmidtův proces**.

Klasický (CGS) a modifikovaný (MGS) Gram-Schmidtův proces v konečné aritmetice

- **Ztrátu ortogonality** vektorů vypočtených v aritmetice s konečnou přesností budeme měřit pomocí 2-normy matice

$$\hat{Q}^T \hat{Q} - I.$$

Klasický (CGS) a modifikovaný (MGS) Gram-Schmidtův proces v konečné aritmetice

- **Ztrátu ortogonality** vektorů vypočtených v aritmetice s konečnou přesností budeme měřit pomocí 2-normy matice

$$\hat{Q}^T \hat{Q} - I.$$

- $A = [a_1, \dots, a_m]$. Lze matematicky dokázat:

Algoritmus	$\ \hat{Q}^T \hat{Q} - I\ $
CGS	$\kappa^2(A) \mathbf{u}$
MGS	$\kappa(A) \mathbf{u}$

Výsledek pro CGS: [L. Giraud, J. Langou, M. Rozložník, 2005].

Klasický (CGS) a modifikovaný (MGS) Gram-Schmidtův proces v konečné aritmetice

- **Ztrátu ortogonality** vektorů vypočtených v aritmetice s konečnou přesností budeme měřit pomocí 2-normy matice

$$\widehat{Q}^T \widehat{Q} - I.$$

- $A = [a_1, \dots, a_m]$. Lze matematicky dokázat:

Algoritmus	$\ \widehat{Q}^T \widehat{Q} - I\ $
CGS	$\kappa^2(A) \mathbf{u}$
MGS	$\kappa(A) \mathbf{u}$

Výsledek pro CGS: [L. Giraud, J. Langou, M. Rozložník, 2005].

- Lze **potlačit vliv zaokrouhlovacích chyb** a sestrojít téměř perfektně ortogonální bázi?

CGS algoritmus s opakovanou ortogonalizací (ICGS)

aneb „Já ovšem musím trvat na opakování ceremoniálu“

- První ortogonalizace: **projektujeme** a_k

$$z = a_k - [(q_{k-1}^T a_k) q_{k-1} + \dots + (q_1^T a_k) q_1].$$

CGS algoritmus s opakovanou ortogonalizací (ICGS)

aneb „Já ovšem musím trvat na opakování ceremoniálu“

- První ortogonalizace: **projektujeme** a_k

$$z = a_k - [(q_{k-1}^T a_k) q_{k-1} + \dots + (q_1^T a_k) q_1].$$

- Opakovaná ortogonalizace: **projektujeme** z

$$w = z - [(q_{k-1}^T z) q_{k-1} + \dots + (q_1^T z) q_1].$$

CGS algoritmus s opakovanou ortogonalizací (ICGS)

aneb „Já ovšem musím trvat na opakování ceremoniálu“

- První ortogonalizace: **projektujeme** a_k

$$z = a_k - [(q_{k-1}^T a_k) q_{k-1} + \dots + (q_1^T a_k) q_1].$$

- Opakovaná ortogonalizace: **projektujeme** z

$$w = z - [(q_{k-1}^T z) q_{k-1} + \dots + (q_1^T z) q_1].$$

- Dosadíme-li za z do druhého vztahu,

$$w = a_k - [(q_{k-1}^T a_k + q_{k-1}^T z) q_{k-1} + \dots + (q_1^T a_k + q_1^T z) q_1].$$

CGS algoritmus s opakovanou ortogonalizací (ICGS)

aneb „Já ovšem musím trvat na opakování ceremoniálu“

- První ortogonalizace: **projektujeme** a_k

$$z = a_k - [(q_{k-1}^T a_k) q_{k-1} + \dots + (q_1^T a_k) q_1].$$

- Opakovaná ortogonalizace: **projektujeme** z

$$w = z - [(q_{k-1}^T z) q_{k-1} + \dots + (q_1^T z) q_1].$$

- Dosadíme-li za z do druhého vztahu,

$$w = a_k - [(q_{k-1}^T a_k + q_{k-1}^T z) q_{k-1} + \dots + (q_1^T a_k + q_1^T z) q_1].$$

- **Stačí jedno opakování**, potom

$$\|\widehat{Q}^T \widehat{Q} - I\| \approx \mathbf{u}.$$

Výsledek [L. Giraud, J. Langou, M. Rozložník, and J. van den Eshof, 2005].

CGS algoritmus s opakovanou ortogonalizací (ICGS)

aneb „Já ovšem musím trvat na opakování ceremoniálu“

- První ortogonalizace: **projektujeme** a_k

$$z = a_k - [(q_{k-1}^T a_k) q_{k-1} + \dots + (q_1^T a_k) q_1].$$

- Opakovaná ortogonalizace: **projektujeme** z

$$w = z - [(q_{k-1}^T z) q_{k-1} + \dots + (q_1^T z) q_1].$$

- Dosadíme-li za z do druhého vztahu,

$$w = a_k - [(q_{k-1}^T a_k + q_{k-1}^T z) q_{k-1} + \dots + (q_1^T a_k + q_1^T z) q_1].$$

- **Stačí jedno opakování**, potom

$$\|\widehat{Q}^T \widehat{Q} - I\| \approx \mathbf{u}.$$

Výsledek [L. Giraud, J. Langou, M. Rozložník, and J. van den Eshof, 2005].

CGS algoritmus s opakovanou ortogonalizací (ICGS)

aneb „Já ovšem musím trvat na opakování ceremoniálu“

- První ortogonalizace: **projektujeme** a_k

$$z = a_k - [(q_{k-1}^T a_k) q_{k-1} + \dots + (q_1^T a_k) q_1].$$

- Opakovaná ortogonalizace: **projektujeme** z

$$w = z - [(q_{k-1}^T z) q_{k-1} + \dots + (q_1^T z) q_1].$$

- Dosadíme-li za z do druhého vztahu,

$$w = a_k - [(q_{k-1}^T a_k + q_{k-1}^T z) q_{k-1} + \dots + (q_1^T a_k + q_1^T z) q_1].$$

- **Stačí jedno opakování**, potom

$$\|\widehat{Q}^T \widehat{Q} - I\| \approx \mathbf{u}.$$

Výsledek [L. Giraud, J. Langou, M. Rozložník, and J. van den Eshof, 2005].

„No, zřejmě slušnej oddíl, no.“

- 1 Výpočty v počítači
- 2 Numerický výpočet gradientu
- 3 Gaussova eliminace
- 4 Ortogonalizace
- 5 Metoda sdružených gradientů**
- 6 Metoda bikonjugovaných gradientů

Uvažujme systém

$$Ax = b$$

kde $A \in \mathbb{R}^{n \times n}$ je **symetrická, pozitivně definitní**.

Uvažujme systém

$$Ax = b$$

kde $A \in \mathbb{R}^{n \times n}$ je **symetrická, pozitivně definitní**.

- A je velká a řídká ,
- nepotřebujeme znát přesné řešení ,
- jsme schopni realizovat Av (v je vektor) .

Bez újmy na obecnosti, $\|b\| = 1$, $x_0 = 0$.

Metoda sdružených gradientů

input A, b

$x_0 = 0, r_0 = p_0 = b$

for $k = 0, 1, 2, \dots$ **do**

$$\gamma_k = \frac{r_k^T r_k}{p_k^T A p_k}$$

$$x_{k+1} = x_k + \gamma_k p_k$$

$$r_{k+1} = r_k - \gamma_k A p_k$$

$$\delta_{k+1} = \frac{r_{k+1}^T r_{k+1}}{r_k^T r_k}$$

$$p_{k+1} = r_{k+1} + \delta_{k+1} p_k$$

test kvality x_{k+1}

end for

Matematické vlastnosti CG

optimální vlastnost

ktý **Krylovův podprostor**,

$$\mathcal{K}_k(A, b) \equiv \text{span}\{b, Ab, \dots, A^{k-1}b\}.$$

CG $\rightarrow x_k, r_k, p_k$

Matematické vlastnosti CG

optimální vlastnost

ktý **Krylovův podprostor**,

$$\mathcal{K}_k(A, b) \equiv \text{span}\{b, Ab, \dots, A^{k-1}b\}.$$

CG $\rightarrow x_k, r_k, p_k$

- rezidua r_0, \dots, r_{k-1} tvoří **ortogonální** bázi $\mathcal{K}_k(A, b)$,
- vektory p_0, \dots, p_{k-1} tvoří **A -ortogonální** bázi $\mathcal{K}_k(A, b)$,

Matematické vlastnosti CG

optimální vlastnost

ktý **Krylovův podprostor**,

$$\mathcal{K}_k(A, b) \equiv \text{span}\{b, Ab, \dots, A^{k-1}b\}.$$

CG $\rightarrow x_k, r_k, p_k$

- rezidua r_0, \dots, r_{k-1} tvoří **ortogonální** bázi $\mathcal{K}_k(A, b)$,
- vektory p_0, \dots, p_{k-1} tvoří **A-ortogonální** bázi $\mathcal{K}_k(A, b)$,
- CG nalezne řešení $Ax = b$ nejvýše po n krocích.

Matematické vlastnosti CG

optimální vlastnost

ktý **Krylovův podprostor**,

$$\mathcal{K}_k(A, b) \equiv \text{span}\{b, Ab, \dots, A^{k-1}b\}.$$

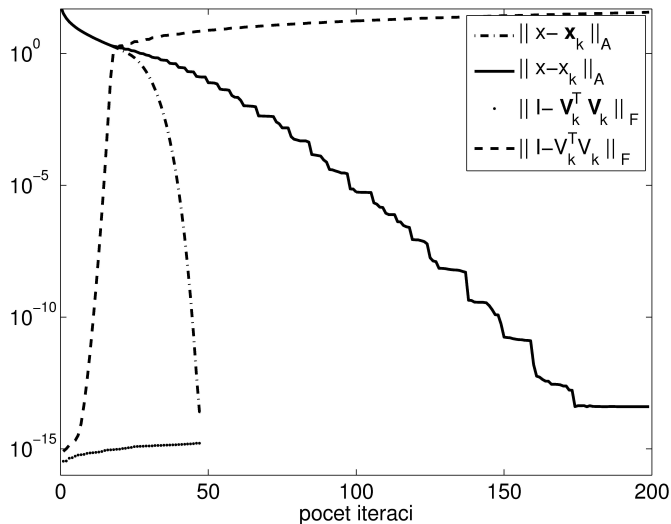
CG $\rightarrow x_k, r_k, p_k$

- rezidua r_0, \dots, r_{k-1} tvoří **ortogonální** bázi $\mathcal{K}_k(A, b)$,
- vektory p_0, \dots, p_{k-1} tvoří **A-ortogonální** bázi $\mathcal{K}_k(A, b)$,
- CG nalezne řešení $Ax = b$ nejvýše po n krocích.
- Aproximace řešení x_k **je optimální**

$$\|x - x_k\|_A = \min_{y \in \mathcal{K}_k} \|x - y\|_A.$$

Vliv konečné aritmetiky

Zpoždění konvergence, ztráta ortogonality, hladina limitní přesnosti



Analýza chování CG v konečné aritmetice

aneb „Nemusí pršet, jen když kape“

- [Paige 1972] ztráta ortogonality v Lanczosově algoritmu.

Analýza chování CG v konečné aritmetice

aneb „Nemusí přšet, jen když kape“

- [Paige 1972] ztráta ortogonality v Lanczosově algoritmu.
- [Greenbaum 1989]
 - na **výpočty FP CG** aplikované na $Ax = b$ lze hledět jako
 - na **výpočty přesné CG** aplikované na jiný systém $\tilde{A}\tilde{x} = \tilde{b}$, kde \tilde{A} je symetrická pozitivně definitní matice.

Analýza chování CG v konečné aritmetice

aneb „Nemusí pršet, jen když kape“

- [Paige 1972] ztráta ortogonality v Lanczosově algoritmu.
- [Greenbaum 1989]
 - na **výpočty FP CG** aplikované na $Ax = b$ lze hledět jako
 - na **výpočty přesné CG** aplikované na jiný systém $\tilde{A}\tilde{x} = \tilde{b}$, kde \tilde{A} je symetrická pozitivně definitní matice.
- Některé **teoretické vlastnosti CG** zůstávají **zachovány** i v konečné aritmetice.

Analýza chování CG v konečné aritmetice

aneb „Nemusí pršet, jen když kape“

- [Paige 1972] ztráta ortogonality v Lanczosově algoritmu.
- [Greenbaum 1989]
 - na **výpočty FP CG** aplikované na $Ax = b$ lze hledět jako
 - na **výpočty přesné CG** aplikované na jiný systém $\tilde{A}\tilde{x} = \tilde{b}$, kde \tilde{A} je symetrická pozitivně definitní matice.
- Některé **teoretické vlastnosti CG** zůstávají **zachovány** i v konečné aritmetice.
- Zaokrouhlovací chyby „jsou pod kontrolou“, ale dochází ke
 - **zpoždění konvergence**,
 - **zastavení na hladině** maximálně dosažitelné přesnosti.

- 1 Výpočty v počítači
- 2 Numerický výpočet gradientu
- 3 Gaussova eliminace
- 4 Ortogonalizace
- 5 Metoda sdružených gradientů
- 6 Metoda bikonjugovaných gradientů**

Uvažujme systém

$$Ax = b$$

kde $A \in \mathbb{R}^{n \times n}$ je regulární, obecně **nesymetrická**.

- A je velká a řídká ,
- nepotřebujeme znát přesné řešení ,
- jsme schopni realizovat Av (v je vektor) ,
- potřebujeme metodu **s nízkými paměťovými nároky** .

Metoda bikonjugovaných gradientů (BiCG)

Současné řešení systémů

$$Ax = b, \quad A^T y = c.$$

input A, b, c

$$x_0 = y_0 = 0$$

$$r_0 = p_0 = b, \quad s_0 = q_0 = c$$

for $k = 0, 1, \dots$

$$\gamma_k = \frac{s_k^T r_k}{q_k^T A p_k},$$

$$x_{k+1} = x_k + \gamma_k p_k,$$

$$y_{k+1} = y_k + \gamma_k q_k,$$

$$r_{k+1} = r_k - \alpha_k A p_k,$$

$$s_{k+1} = s_k - \gamma_k A^T q_k,$$

$$\delta_{k+1} = \frac{s_{k+1}^T r_{k+1}}{s_k^T r_k},$$

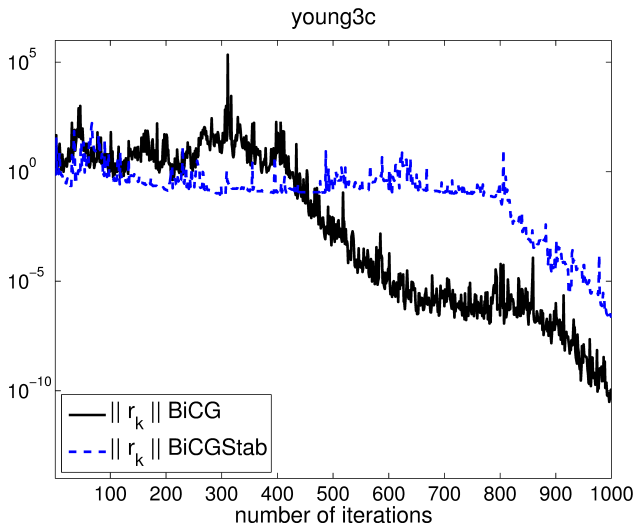
$$p_{k+1} = r_{k+1} + \delta_{k+1} p_k,$$

$$q_{k+1} = s_{k+1} + \delta_{k+1} q_k$$

end

BiCG v konečné aritmetice

„Nebudem se pouštět do žádných větších akcí.“



- **Zaokrouhlovací chyby je nutné brát v úvahu**, často podstatně ovlivňují chování algoritmů.

- **Zaokrouhlovací chyby je nutné brát v úvahu**, často podstatně ovlivňují chování algoritmů.
- **Jeden z úkolů numerické analýzy** - snaha pochopit vliv zaokrouhlovacích chyb na chování algoritmu a kvalitu spočteného výsledku.

- **Zaokrouhlovací chyby je nutné brát v úvahu**, často podstatně ovlivňují chování algoritmů.
- **Jeden z úkolů numerické analýzy** - snaha pochopit vliv zaokrouhlovacích chyb na chování algoritmu a kvalitu spočteného výsledku.

[Nicholas J. Higham, Accuracy and Stability of Numerical Algorithms, SIAM, 2002]

